

## О ВОЗМОЖНОСТИ ТРАНСПОРТИРОВКИ НЕПУЛЬСИРУЮЩЕГО ЭЛЕКТРОННОГО ПУЧКА ПРИ МАГНИТНОМ ПОЛЕ, ОТЛИЧНОМ ОТ БРИЛЛЮЭНОВСКОГО

© 2019 г. П. И. Акимов<sup>1, \*</sup>, А. А. Гаврилин<sup>1</sup>, А. П. Никитин<sup>1</sup>, В. А. Сыровой<sup>2</sup>

<sup>1</sup>АО НПП “Торий”,

Российская Федерация, 117332 Москва, ул. Обручева, 52

<sup>2</sup>Всероссийский электротехнический институт,

Российская Федерация, 111250 Москва, ул. Красноказарменная, 12

\*E-mail: red@cplire.ru

Поступила в редакцию 04.07.2017 г.

После доработки 04.12.2017 г.

Принята к публикации 17.06.2018 г.

Исследована возможность транспортировки неппульсирующего электронного пучка при магнитном поле, отличном от бриллюэновского, за счет специальной системы формирующих электродов. Рассмотрены случаи релятивистских и нерелятивистских скоростей.

DOI: 10.1134/S0033849419040016

### 1. УРАВНЕНИЯ ПУЧКОВ РАЗЛИЧНЫХ КОНФИГУРАЦИЙ

Рассмотрим инжекцию в магнитное поле с заданным фронтом нарастания осесимметричного параксиального пучка, тонкого трубчатого (ленточного) пучка с криволинейной осью, пучка с прямой осью и эллиптическим сечением. Инжекция происходит параллельно оси  $z$  в плоскости  $z = 0$ , магнитное поле на катоде может быть ненулевым. Будем интересоваться условиями сохранения заданной на входе геометрии пучка.

Приводимые ниже соотношения записаны в безразмерных переменных (символы с чертой, которую в дальнейшем будем опускать), исключая из уравнений все физические постоянные выбранной системы единиц; для системы СИ имеем

$$\begin{aligned} \bar{r} &= \frac{r}{L_*}, \quad \bar{v} = \frac{v}{V_*}, \quad \bar{\varphi} = \frac{\varphi}{\eta V_*^2}, \\ \bar{\rho} &= \frac{\rho}{\varepsilon_0 V_*^2 / (\eta L_*^2)}, \quad \bar{J} = \frac{J}{\varepsilon_0 V_*^3 / (\eta L_*^2)}, \\ \bar{H} &= \frac{H}{V_* / (\mu_0 \eta L_*)}, \quad \eta = e/m, \quad \mu_0 \varepsilon_0 = 1/c^2. \end{aligned} \quad (1)$$

Величины в формулах (1) означают расстояние, скорость, потенциал электрического поля, плотность пространственного заряда, плотность тока эмиссии, напряженность магнитного поля соответственно;  $L_*$ ,  $V_*$  – характерные значения

длины и скорости, в релятивистском случае  $V_* = c$ ,  $c$  – скорость света; для малых скоростей потенциал удобно нормировать на потенциал  $\varphi_A$  анода,  $\bar{\varphi}_A = 1$ , и связать характерную скорость  $V_*$  с

этой величиной:  $V_*^2 = \eta \varphi_A$ ;  $\eta$ ,  $\mu_0$ ,  $\varepsilon_0$  – удельный заряд электрона, магнитная и диэлектрическая проницаемость вакуума; ниже символом тильда отмечены члены, исчезающие в нерелятивистском пределе; нижний индекс нуль определяет значения соответствующих величин на катоде или оси пучка.

Уравнения асимптотической теории и теории эллиптических потоков. Уравнения осесимметричных параксиальных и трубчатых потоков сформулированы в монографии [1]. Параксиальный пучок с радиусом  $\delta$  описывается уравнением

$$\begin{aligned} \sqrt{U(2+\tilde{U})} \left[ \sqrt{U(2+\tilde{U})} \delta' \right]' + \left[ \frac{1}{2}(1+\tilde{U})U'' + \frac{1}{4}\Omega_z^2 - \right. \\ \left. - \frac{1}{4}\Omega_{z0}^2 \frac{\delta_0^4}{\delta^4} - \frac{1}{2} \frac{J \delta_0^2}{\delta^2} \frac{1}{\sqrt{U(2+\tilde{U})}} \right] \delta = 0, \quad (2) \\ U \equiv \frac{dU}{dz}. \end{aligned}$$

Здесь  $U$ ,  $\Omega_z$  – потенциал и магнитное поле на оси.

Трубчатый пучок с криволинейной осью  $R = R_0(l)$ ,  $Z = Z_0(l)$ ,  $l$  – длина дуги оси, и толщиной  $f$  определен уравнением (рис. 1)

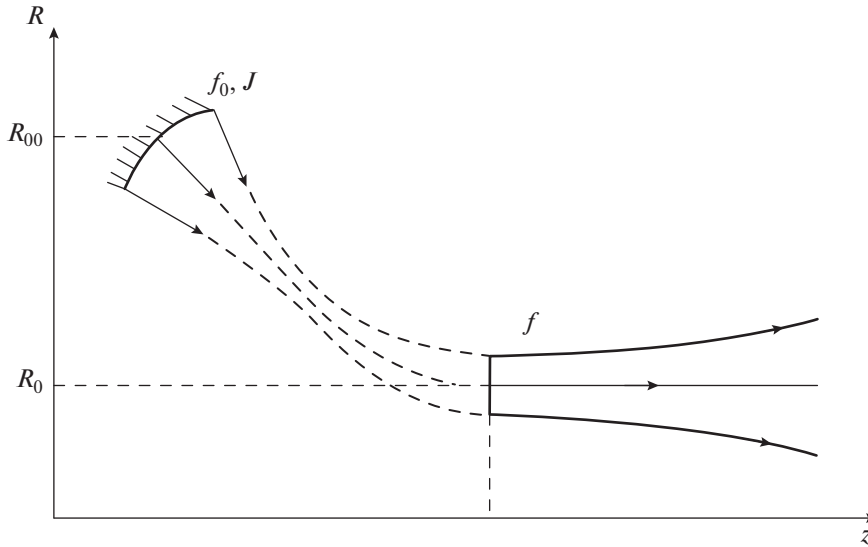


Рис. 1. Схематическое изображение эволюции трубчатого пучка от катода до плоскости инжекции  $z_0$ .

$$\begin{aligned} & \sqrt{U(2+\tilde{U})} \left[ \sqrt{U(2+\tilde{U})} f' \right]' - f_0 R_{00} \Omega_{l0} \times \\ & \times \left[ \frac{2}{R_0^2} (1+\tilde{U}) V_\psi + \frac{\Omega_l}{R_0} \right] = \left\{ \frac{f_0 R_{00} J}{f R_0 (1+\tilde{U}) V_l} - \right. \\ & - (1+\tilde{U}) U'' - \frac{2}{R_0^2} (1+\tilde{U})^2 V_\psi^2 - \Omega_l^2 - \\ & - \frac{2}{R_0} (1+\tilde{U}) V_\psi \Omega_l + (1+\tilde{U}) V_\psi \Omega_s' + \tilde{V}_\psi^2 \times \\ & \left. \times \left[ \frac{1}{R_0} (1+\tilde{U}) V_\psi + \Omega_l \right]^2 \right\} f, \quad U \equiv \frac{dU}{dl}. \end{aligned} \quad (3)$$

Здесь  $V_l, V_\psi$  – продольная и азимутальная компоненты скорости;  $\Omega_l, \Omega_s$  – продольная и нормальная к оси компоненты напряженности магнитного поля. В качестве базовой трубки тока в релятивистском случае выбрана внутренняя поверхность пучка с нулевым собственным азимутальным магнитным полем. При  $R_0 \rightarrow \infty, R_{00}/R_0 \rightarrow 1$  получаем уравнения криволинейного ленточного пучка.

Пучки с эллиптическим сечением, полуосями  $a, b$  и прямой осью в системе координат, связанной с трубками тока, рассмотрены в работах [2–5]:

$$\begin{aligned} & (1+\tilde{U}) \left[ \frac{1}{ab} (abU')' + U(2+\tilde{U}) \left( \frac{a''}{a} + \frac{b''}{b} \right) \right] + \\ & + \frac{(a^2 - b^2)^2}{2a^2b^2(a^2 + b^2)^2} \left[ (ab\Omega_z) - (ab\Omega_z)_0 \right]^2 + \\ & + \frac{1}{2a^2b^2} \left[ (ab\Omega_z)^2 - (ab\Omega_z)_0^2 \right] = \frac{(ab)_0 J}{ab\sqrt{U(2+\tilde{U})}}. \end{aligned} \quad (4)$$

В отличие от потоков с прямой осью трубчатый пучок подходит к плоскости инжекции с предысторией, выражающейся в закрутке с азимутальной скоростью

$$V_\psi = \frac{1}{R_0} \int_0^l R_0 \Omega_s dl, \quad (5)$$

где интегрирование ведется от катода до плоскости  $z = 0$ . По этой причине общую ситуацию с трубчатым пучком следует рассмотреть отдельно.

Уравнения пучков с неизменным сечением. Требование сохранения начальных параметров сечения потока  $\delta, f, a, b = \text{const}$  для параксиального и эллиптического пучков, а также для трубчатого пучка, формируемого исключительно электростатическими полями, приводит уравнения (2)–(4) к единой форме

$$U'' + \frac{\Omega^2}{1+\tilde{U}} - \frac{Js}{(1+\tilde{U})\sqrt{U(2+\tilde{U})}} = 0, \quad (6)$$

где постоянная  $\Omega^2$  и компрессия по площади  $s$  для перечисленных выше случаев определены формулами

$$\begin{aligned} \Omega^2 &= \frac{1}{2} (\Omega_z^2 - s^2 \Omega_{z0}^2), \quad s = \delta_0^2 / \delta^2; \\ \Omega^2 &= \Omega_l^2, \quad s = R_{00} f_0 / R_0 f; \\ \Omega^2 &= \Omega_l^2, \quad s = f_0 / f; \\ \Omega^2 &= \frac{a^4 + b^4}{(a^2 + b^2)^2} \Omega_z^2 - \frac{(a^2 - b^2)^2}{(a^2 + b^2)^2} s \Omega_{z0} \Omega_z - \\ & - 2 \frac{a^2 b^2}{(a^2 + b^2)^2} s^2 \Omega_{z0}^2, \quad s = \frac{a_0 b_0}{ab}. \end{aligned} \quad (7)$$

Здесь  $\Omega_z$ ,  $\Omega_l$  – магнитное поле при  $z = 0$  при его мгновенном нарастании.

В нерелятивистском случае вместо (6) имеем

$$U'' + \Omega^2 - \frac{A}{\sqrt{U}} = 0, \quad A = \frac{Js}{\sqrt{2}}. \quad (8)$$

*Бриллюэновское магнитное поле.* Значения бриллюэновского магнитного поля следуют из уравнения (6) при  $U = U_A = \text{const}$  (в нерелятивистском случае  $U_A = 1$ ):

$$\begin{aligned} \Omega_{zB}^2 &= s^2 \Omega_{z0}^2 + \frac{2\sqrt{2}A}{\sqrt{U_A(2 + \tilde{U}_A)}}; \quad \Omega_{lB}^2 = \frac{\sqrt{2}A}{\sqrt{U_A(2 + \tilde{U}_A)}}; \\ \Omega_{zB}^2 &= \frac{(a^2 - b^2)^2}{a^4 + b^4} s \Omega_{z0} \Omega_{zB} + 2 \frac{a^2 b^2}{a^4 + b^4} s^2 \Omega_{z0}^2 + \\ &+ \frac{(a^2 + b^2)^2}{a^4 + b^4} \frac{\sqrt{2}A}{\sqrt{U_A(2 + \tilde{U}_A)}}. \end{aligned} \quad (9)$$

Пусть поле на катоде составляет часть бриллюэновского значения

$$\Omega_{z0} = \frac{c}{s} \Omega_{zB}. \quad (10)$$

При этом формулы (9) принимают вид

$$\begin{aligned} \Omega_{zB}^2 &= \frac{2\sqrt{2}A}{(1 - c^2)\sqrt{U_A(2 + U_A)}}; \quad \Omega_{lB}^2 = \frac{\sqrt{2}A}{\sqrt{U_A(2 + \tilde{U}_A)}}; \\ \Omega_{zB}^2 &= \frac{(a^2 + b^2)^2}{a^4 + b^4 + 2ca^2b^2(1 - c)} \frac{\sqrt{2}A}{\sqrt{U_A(2 + \tilde{U}_A)}}. \end{aligned} \quad (11)$$

Из соотношений (11) следует, что параметр  $c$  не может превышать единицы. Это значение задает предельную степень замагниченности катода в зависимости от компрессии  $s$ . При  $s \sim 30$  и сохранении формы пучка начиная с плоскости инжекции величина  $\Omega_{z0}$  составляет менее 3% от  $\Omega_{zB}$ ; при  $s = 2$  имеем  $\Omega_{z0} < \Omega_{zB}/2$ . В дальнейшем магнитное поле может изменяться при осцилляциях границы потока. В плоскости  $z = 0$  на минимуме пульсаций он попадает в магнитное поле, отличное от бриллюэновского.

В нерелятивистском случае формулы (11) принимают вид

$$\begin{aligned} \Omega_{zB}^2 &= \frac{2A}{1 - c^2}; \quad \Omega_{lB}^2 = A; \\ \Omega_{zB}^2 &= \frac{(a^2 + b^2)^2}{a^4 + b^4 + 2ca^2b^2(1 - c)} A. \end{aligned} \quad (12)$$

## 2. УСЛОВИЯ СОХРАНЕНИЯ НАЧАЛЬНОЙ КОНФИГУРАЦИИ ПОТОКА

*Нерелятивистские пучки.* Уравнение (8) для функции  $\sqrt{U}$  описывает циклоиду – кривую с хорошо известным параметрическим представлением. Первый интеграл этого уравнения определен формулой

$$\frac{1}{2} U'^2 = 2A(\sqrt{U} - 1) - \Omega^2(U - 1) \quad (13)$$

при условиях инжекции  $z = 0$ ,  $U = 1$ .

Повторное интегрирование позволяет получить решение в элементарных функциях

$$\begin{aligned} z &= -\frac{1}{\Omega^2} \left[ 4(A - \Omega^2)(\sqrt{U} - 1) - 2\Omega^2(\sqrt{U} - 1)^2 \right]^{1/2} - \\ &- \frac{A\sqrt{2}}{\Omega^3} \left\{ \arcsin \left[ 1 - \frac{\Omega^2}{A - \Omega^2}(\sqrt{U} - 1) \right] - \frac{\pi}{2} \right\}. \end{aligned} \quad (14)$$

Уравнение  $U' = 0$  определяет экстремумы функции  $U(z)$ :

$$\sqrt{U_m} = \frac{2A}{\Omega^2} - 1, 1. \quad (15)$$

Если первый корень соответствует минимуму, то надо предотвратить полное торможение потока:  $U_m = 0$  – предельное значение, при котором пучок полностью заторможен.

Чтобы понять, какие ограничения это условие накладывает на магнитное поле, достаточно воспользоваться выражениями для  $\Omega^2$  и  $\Omega_{zB}^2$  из (7), (12).

Для сплошного ( $c \neq 0$ ) и специального случая кольцевого пучка ( $c = 0$ ) получаем

$$\frac{\Omega_z^2}{\Omega_{zB}^2} = 2 - c^2. \quad (16)$$

Эллиптическому потоку соответствует выражение

$$\begin{aligned} \frac{\Omega_z}{\Omega_{zB}} &= \frac{c(a^2 - b^2)^2}{2(a^4 + b^4)} \pm \\ &\pm \left[ \frac{c^2(a^2 - b^2)^4}{4(a^4 + b^4)^2} + 2(1 - c) + 2c(2 - c) \frac{a^2 b^2}{a^4 + b^4} \right]^{1/2}. \end{aligned} \quad (17)$$

*Экранированный катод.* Во всех случаях для экранированного катода отношение

$$\Omega_z / \Omega_{zB} < \sqrt{2}. \quad (18)$$

Пусть при выполнении требования (18)

$$\Omega_z = \kappa \Omega_{zB}. \quad (19)$$

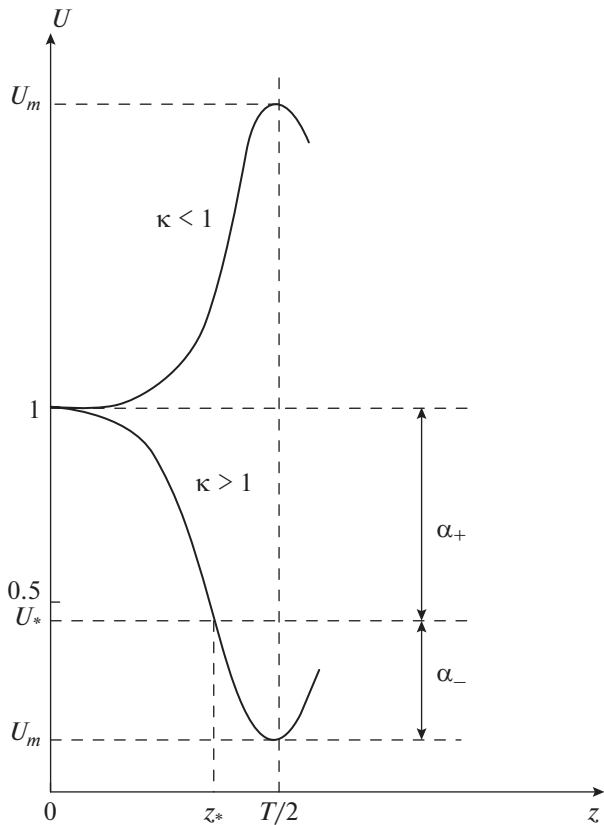


Рис. 2. Схематическое изображение потенциала  $U(z)$  на оси пучка на полупериоде  $(0, T/2)$ .

Определяемая формулой (14) зависимость  $U = U(z)$  описывает негармонические колебания с периодом

$$T = 2\pi \frac{A\sqrt{2}}{\Omega^3}. \quad (20)$$

При выполнении (19) получаем

$$\Omega = \kappa\sqrt{A}, \quad T = \frac{2\pi}{\kappa^3\sqrt{A/2}}. \quad (21)$$

Минимальное значение потенциала  $U_m$  и амплитуда колебаний  $\alpha$  следуют из формул (15), (21):

$$\sqrt{U_m} = \frac{2}{\kappa^2} - 1, \quad \alpha = \frac{1 - U_m}{2}. \quad (22)$$

Кривизна  $k$  кривой  $U = U(z)$  в точках экстремума

$$k = U'' = \begin{cases} A(1 - \kappa^2), & U = 1; \\ A \frac{\kappa^2(\kappa^2 - 1)}{2 - \kappa^2}, & U = U_m. \end{cases} \quad (23)$$

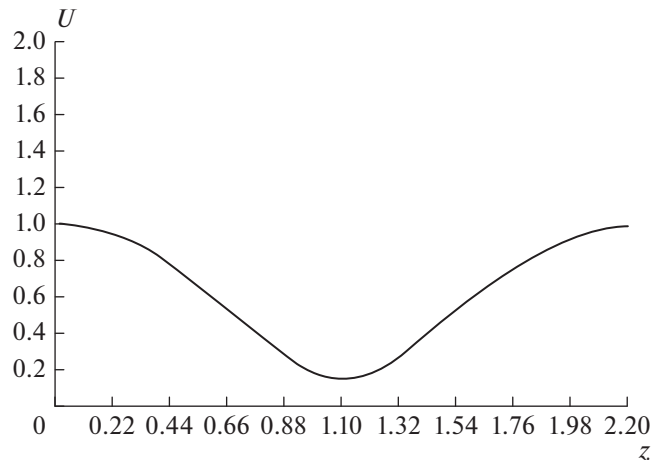


Рис. 3. Распределение потенциала  $U(z)$  для нерелятивистских потоков при  $\kappa > 1$ .

Если отсчитывать отклонение  $(\alpha_+, \alpha_-)$  кривой  $U(z)$  от точки перегиба  $U = U_*$ , то для  $\alpha_+$  и  $\alpha_-$  имеем (рис. 2)

$$\alpha_+ = 1 - U_* = 1 - \frac{1}{\kappa^4}, \quad (24)$$

$$\alpha_- = U_* - U_m = \frac{1}{\kappa^4} - \left(\frac{2}{\kappa^2} - 1\right)^2.$$

На рис. 3 приведено решение (14) при  $\kappa = 1.2$ ,  $A = 5.4$ ; последнее значение по компрессии и плотности тока эмиссии примерно соответствует эллиптическому пучку ( $J = 0.254$ ,  $s = 30$ ), рассмотренному в работе [4].

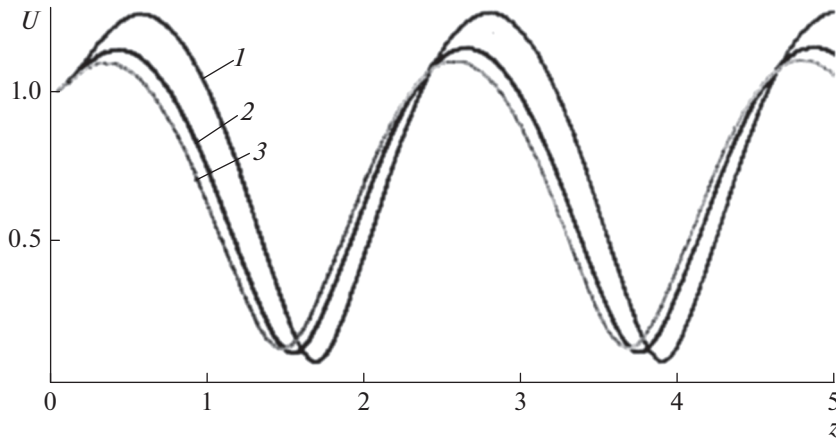
*Неэкранированный катод.* Влияние степени экранировки катода на параметры осциллирующей потенциала рассмотрим на примере сплошного осесимметричного пучка. Для параметра  $\Omega^2$ , минимального значения  $U_m$  и периода колебаний  $T$  получаем

$$\Omega^2 = A \frac{\kappa^2 - c^2}{1 - c^2}, \quad \sqrt{U_m} = 2 \frac{1 - c^2}{\kappa^2 - c^2} - 1, \quad (25)$$

$$T = \frac{2\pi}{\sqrt{A/2}} \left( \frac{1 - c^2}{\kappa^2 - c^2} \right)^{3/2}.$$

Из формул (25) видно, что при  $\kappa > 1$  возрастание параметра  $c$  приводит к уменьшению периода колебаний  $T$  и величины  $U_m$  и, как следствие, к росту амплитуды  $\alpha$ . При  $\kappa = 1.2$ ,  $c = 0.5$  величина  $\sqrt{U_m}$  уменьшается на 33%, период  $T$  – на 14% по сравнению со случаем экранированного катода. Требование  $\sqrt{U_m} > 0$  приводит к новому ограничению на параметр  $c$ :

$$c^2 < 2 - \kappa^2. \quad (26)$$



**Рис. 4.** Распределение потенциала  $U(z)$  при плавном нарастании магнитного поля: 1 –  $\beta = 20$ , 2 –  $\beta = 40$ , 3 –  $\beta = 60$  ( $\beta \rightarrow \infty$  соответствует мгновенному нарастанию).

Равенство в формуле (26) соответствует полному торможению потока.

Случай, когда первый корень в (15) определяет максимум

$$\frac{2A}{\Omega^2} - 1 > 1, \quad \Omega_z = \kappa \Omega_{zB} \quad (27)$$

соответствует магнитным полям, меньшим бриллюэновских:

$$\kappa < 1. \quad (28)$$

Сохранение формы пучка при этом возможно за счет использования потенциалов  $U > U_A$ .

*Плавное нарастание магнитного поля.* Для всех пучков с электростатическим формированием нарастание магнитного поля от нуля в плоскости инжекции до  $\kappa \Omega_{zB}$  можно определить формулой

$$\Omega_z^2 = \kappa^2 [1 - \exp(-\beta z^2)] A, \quad \beta = \text{const}. \quad (29)$$

Изменение потенциала на оси в этом случае описывается уравнением

$$U'' + \kappa^2 A [1 - \exp(-\beta z^2)] - \frac{A}{\sqrt{U}} = 0. \quad (30)$$

На рис. 4 представлено решение этого уравнения для нескольких значений  $\beta$ . На начальном этапе, где  $\Omega_z < \Omega_{zB}$ , кривая  $U(z)$  превышает единицу, а затем колебания с большей, чем в случае  $\beta \rightarrow \infty$ , амплитудой принимают установившийся характер. С уменьшением  $\beta$  магнитное поле возрастает до заданного значения на большей длине, причем величина  $U_m \rightarrow 0$ , практически достигая оси  $z$  при  $\beta = 6$ .

*Релятивистские пучки.* Уравнение (6) удается проинтегрировать только один раз:

$$\begin{aligned} \frac{1}{2} U'^2 = \Omega^2 \ln \frac{1+U_A}{1+U} + \\ + A\sqrt{2} \left( \arccos \frac{1}{1+U} - \arccos \frac{1}{1+U_A} \right). \end{aligned} \quad (31)$$

Условие  $U' = 0$  позволяет, как и в нерелятивистском случае, указать значение  $\Omega^2$  и сформулировать соответствующие пределы для магнитного поля, превышающего бриллюэновскую величину:

$$\begin{aligned} \Omega^2 = \sqrt{2} A F, \\ F = \arccos \left( \frac{1}{(1+U_A)} \right) / \ln(1+U_A). \end{aligned} \quad (32)$$

Для рассмотренных выше конфигураций электронного пучка имеем

$$\begin{aligned} \frac{\Omega_z^2}{\Omega_{zB}^2} = c^2 + (1-c) F \sqrt{U_A(2+U_A)}; \\ \frac{\Omega_l^2}{\Omega_{lB}^2} = F \sqrt{U_A(2+U_A)}; \quad \frac{\Omega_z}{\Omega_{zB}} = \frac{c}{2} \frac{(a^2 - b^2)^2}{a^4 + b^4} \pm \\ \pm \left\{ \frac{c^2 (a^2 - b^2)^4}{4 (a^4 + b^4)^2} + \frac{a^2 b^2}{a^4 + b^4} \times \right. \\ \left. \times (F(1-c) + 2c[c + F(1-c)]) \sqrt{U_A(2+U_A)} \right\}. \end{aligned} \quad (33)$$

Во всех вариантах в случае экранированного катода

$$\frac{\Omega_z^2}{\Omega_{zB}^2} < F \sqrt{U_A(2+U_A)}. \quad (34)$$

Результаты вычисления отношения  $\Omega_z/\Omega_{zB}$  по формуле (33) приведены в табл. 1 с указанием потенциала анода в безразмерных единицах и в киловольтах.

Численное интегрирование уравнения (6) при  $\kappa = 1.2, A = 5.4, U_A = 1$  (500 кВ) позволяет построить функцию  $U(z)$  (рис. 5). В качественном отношении (но при нормировке  $U$  на разные величины) кривые  $U(z)$  имеют один характер при несколько возросшем периоде колебаний в случае релятивистских скоростей.

Значения потенциала в экстремумах при учете формулы (33) определяют корни уравнения

$$\kappa^2 \ln \frac{1+U}{1+U_A} - \sqrt{U_A(2+U_A)} \times \left( \arccos \frac{1}{1+U} - \arccos \frac{1}{1+U_A} \right) = 0, \quad (35)$$

$\kappa = \Omega_z/\Omega_{zB}$ .

Ниже приведена зависимость  $\kappa(U_m)$  при  $U_A = 1$

$U_m$	0	0.1	0.2	0.3	0.4	0.5	0.6	0.7	0.8	0.9
$\kappa$	1.61	1.34	1.25	1.19	1.15	1.11	1.08	1.05	1.036	1.0165

Цена снижения магнитного поля по сравнению с  $\Omega_{zB}$  оказывается чрезмерной: при  $\kappa = 0.78$  имеем  $U_m = 4$ .

*Колебания границы потока при отсутствии балласта сил.* Чтобы оценить соотношение эффекта, который должен быть устранен – осцилляции границы потока, и инструмента воздействия – периодического измерения потенциала, рассмотрим пульсации трубчатого релятивистского пучка, сформированного электростатическим полем, в однородном магнитном поле  $\Omega_l = \text{const}$ .

Колебания границы описываются уравнением

$$f'' + \omega^2 f = C, \quad f(0) = f_0, \quad f'(0) = 0, \quad (36)$$

$$\omega^2 = \frac{\Omega_l^2}{U_A(2 + \tilde{U}_A)}, \quad C = \frac{f_0 R_{00} J}{R_0 [U_A(2 + \tilde{U}_A)]^{3/2}},$$

решение которого имеет вид

$$f = \left( f_0 - \frac{C}{\omega^2} \right) \cos \omega z + \frac{C}{\omega^2}. \quad (37)$$

Толщина пучка осциллирует между значениями  $f_0$  и  $2C/\omega^2 - f_0 > 0$  с периодом

$$T_f = \frac{2\pi}{\Omega_l} \sqrt{U_A(2 + \tilde{U}_A)}. \quad (38)$$

**Таблица 1.** Значения отношения  $\Omega_z/\Omega_{zB}$  в зависимости от потенциала анода  $U_A$

$U_A$	<0.1	0.1	1.5	1	2	3
$U_A, \text{кВ}$	<50	50	250	500	1000	1500
$\Omega_z/\Omega_{zB}$	1.414	1.435	1.52	1.62	1.78	1.92

В нерелятивистском случае при нормировке на потенциал анода  $U_A = 1$  имеем

$$T_f = \frac{2\sqrt{2}\pi}{\kappa\sqrt{A}}. \quad (39)$$

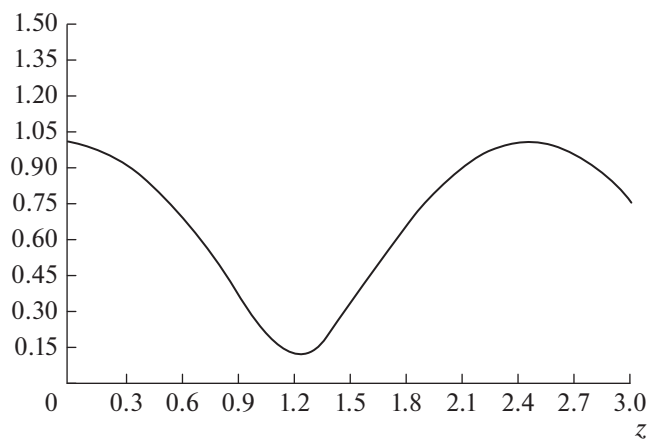
Обозначив период колебаний потенциала в (21) через  $T_U$ , приходим к следующему соотношению

$$\frac{T_U}{T_f} = \frac{1}{\kappa^2}. \quad (40)$$

Таким образом, при магнитном поле  $\Omega_l$ , превышающем бриллюэновское значение ( $1 < \kappa < \sqrt{2}$ ), изменение потенциала опережает возможную пульсацию границы, при  $\Omega_l < \Omega_{lB}$  ( $\kappa < 1$ ) имеет место обратный эффект.

*Общий случай трубчатого пучка.* Выше было отмечено, что в общем случае трубчатый пучок подходит к плоскости инжекции с азимутальной скоростью, описываемой формулой (5). Не имея в рассматриваемой постановке задачи информации о движении потока между катодом и плоскостью  $z = 0$ , введем параметр  $p$ , определяющий соотношение продольной и азимутальной компонент скорости при  $z = 0$ :

$$V_\psi = pV_A, \quad V_A^2 = \frac{U_A(2 + \tilde{U}_A)}{(1 + \tilde{U}_A)^2}, \quad p > 0. \quad (41)$$



**Рис. 5.** Распределение потенциала  $U(z)$  для релятивистских потоков при  $U_A = 500$  кВ при  $\kappa > 1$ .

Для сохранения геометрии потока потенциал должен удовлетворять уравнению

$$(1 + \tilde{U})U'' + \Omega_l^2 - s\Omega_{l0}\Omega_l - \frac{sJ}{\sqrt{U(2 + \tilde{U})}} + \frac{2pV_A}{R_0}(1 + \tilde{U}) \left[ \frac{pV_A}{R_0}(1 + \tilde{U}) + \Omega_l - s\Omega_{l0} \right] - \tilde{p}^2 V_A^2 \left[ \frac{pV_A}{R_0}(1 + \tilde{U}) + \Omega_l \right]^2 = 0. \quad (42)$$

Первый интеграл уравнения (42) имеет вид

$$-\frac{1}{2}U'^2 = \left[ \Omega_l(1 - \tilde{p}^2 V_A^2) - s\Omega_{l0} \right] \times \left[ \Omega_l \ln \frac{1+U}{1+U_A} + \frac{2pV_A}{R_0}(U - U_A) \right] + \frac{p^2 V_A^2}{2R_0^2} (2 - \tilde{p}^2 V_A^2) [U(2 + \tilde{U}) - U_A(2 + \tilde{U}_A)] - sJ \left( \arccos \frac{1}{1+U} - \arccos \frac{1}{1+U_A} \right). \quad (43)$$

*Релятивистские пучки.* Условие существования экстремума у функции  $U(z)$  описывается формулой

$$\left[ (1 - p^2 V_A^2) \ln \frac{1+U}{1+U_A} \right] \Omega_l^2 + \left[ \frac{2pV_A}{R_0} (1 - p^2 V_A^2) (U - U_A) - c\Omega_{lB} \ln \frac{1+U}{1+U_A} \right] \Omega_l + \left\{ -\frac{2pV_A}{R_0} c\Omega_{lB} (U - U_A) + \frac{p^2 V_A^2}{2R_0^2} (2 - p^2 V_A^2) [U(2 + U) - U_A(2 + U_A)] - A\sqrt{2} \left( \arccos \frac{1}{1+U} - \arccos \frac{1}{1+U_A} \right) \right\} = 0. \quad (44)$$

Бриллюэновское магнитное поле  $\Omega_{lB}$  является корнем квадратного уравнения, получаемого из (42) при  $U = U_A = \text{const}$

$$\left[ (1 - c) - p^2 V_A^2 \right] \Omega_{lB}^2 + \frac{2pV_A}{R_0} (1 + U_A) \times \left[ (1 - c) - p^2 V_A^2 \right] \Omega_{lB} + \left[ -\frac{A\sqrt{2}}{\sqrt{U_A(2 + U_A)}} + \frac{p^2 V_A^2}{R_0^2} (1 + U_A)^2 (2 - p^2 V_A^2) \right] = 0. \quad (45)$$

После вычисления  $\Omega_{lB}$  максимально возможное магнитное поле  $\Omega_{lm}(p) > \Omega_{lB}$  определено квадратным уравнением (44) при  $U = 0$ . Возможное значение поля  $\Omega_{lm} < \Omega_{lB}$  в том же порядке может быть получено из уравнений (44), (45) при фиксации величины  $U > U_A$  в (44).

*Нерелятивистские пучки.* В случае нерелятивистских скоростей

$$V_A = \sqrt{2}, \quad V_\psi = p\sqrt{2} \quad (46)$$

и уравнение (3) принимает вид (8) с новым значением параметра  $\Omega^2$

$$\Omega^2 = \Omega_l (\Omega_l - c\Omega_{lB}) + \frac{2p\sqrt{2}}{R_0} \left( \frac{p\sqrt{2}}{R_0} + \Omega_l - c\Omega_{lB} \right). \quad (47)$$

С учетом этого изменения оказываются справедливыми формулы разд. 2.

Вводя обозначения

$$\frac{p}{R_0} = \alpha\sqrt{A}, \quad \Omega_{lB} = \sqrt{A}\omega_{lB}, \quad \Omega_l = \sqrt{A}\omega_l, \quad (48)$$

приходим к следующим выражениям:

$$\omega_{lB} = -\alpha\sqrt{2} + \sqrt{2\alpha^2 + \frac{1-4\alpha^2}{1-c}},$$

$$\omega_l = -\alpha\sqrt{2} + \frac{1}{2}c\omega_{lB} + \left[ \left( \alpha\sqrt{2} + \frac{1}{2}c\omega_{lB} \right)^2 + \frac{2}{1+\sqrt{U}} - 4\alpha^2 \right]^{1/2}, \quad (49)$$

$$\kappa = -\left( \frac{\alpha\sqrt{2}}{\omega_{lB}} - \frac{1}{2}c \right) + \frac{1}{\omega_{lB}} \times \left[ \left( \alpha\sqrt{2} + \frac{1}{2}c\omega_{lB} \right)^2 + \frac{2}{1+\sqrt{U}} - 4\alpha^2 \right]^{1/2}.$$

При отсутствии магнитного поля на катоде ( $c = 0$ ) для определения минимально возможного магнитного поля имеем

$$\kappa = \frac{\sqrt{1/(1+\sqrt{U})} - \alpha^2 - \alpha}{\sqrt{1/2 - \alpha^2 - \alpha}}. \quad (50)$$

Случаю магнитного поля, превышающего бриллюэновское значение, соответствует формула

$$\kappa = \frac{\sqrt{1 - \alpha^2 - \alpha}}{\sqrt{1/2 - \alpha^2 - \alpha}}. \quad (51)$$

Из выражения для  $\omega_{lB}$  в (49) следует, что при закрутке с  $\alpha = 1/2$  пучок самобалансируется без магнитного поля ( $\Omega_{lB} = 0$ ), бриллюэновский режим возможен при  $\alpha^2 < 1/4$ . Приведенные ниже численные значения позволяют судить об эффекте экранировки катода:

$$U = 0, \quad \alpha^2 = 1/9, \quad p/R_0 = 0.77; \quad c = 0, \quad \kappa = 2.1; \quad c = 0.5, \quad \kappa = 1.61. \quad (52)$$

При  $U > 0$  предельная величина параметра  $\alpha$  еще более уменьшается

$$\alpha^2 < \frac{1}{2(1+\sqrt{U})}. \quad (53)$$

Значения параметров  $\alpha$ ,  $\kappa$ ,  $p/R_0$  при двукратном ( $U = 2$ ,  $\alpha^2 < 0.455$ ) превышении потенциала в электронно-оптической системе по сравнению с анодным напряжением для экранированного катода ( $c = 0$ ) приведены в табл. 2.

Цифры, соответствующие потенциалу  $U = 2$ , указаны ниже:

$$U = 2, \alpha^2 = 1/9, p/R_0 = 0.77; c = 0, \kappa = 0.75; c = 0.5, \kappa = 0.34. \quad (54)$$

*Ленточный нерелятивистский пучок.* Снососовая скорость не влияет на параметры ленточного потока:

$$\omega_{lB} = \frac{1}{\sqrt{1-c}}, \quad \omega_l = \frac{c}{2\sqrt{1-c}} + \sqrt{\frac{c^2}{4(1-c)} + \frac{2}{1+\sqrt{U}}}, \quad (55)$$

$$\kappa = \frac{c}{2} + \sqrt{\frac{c^2}{4} + \frac{2(1-c)}{1+\sqrt{U}}}.$$

При  $c \rightarrow 1$  параметр  $\kappa \rightarrow 1$ , он довольно слабо зависит от  $c$  и  $U$  (табл. 3).

*Ленточный релятивистский пучок.* В релятивистском случае бриллюэновское и приложенное магнитные поля определены уравнениями

$$\omega_{lB}^2 = \left\{ \sqrt{U_A (1 + U_A/2)} \left[ (1-c) - p^2 V_A^2 \right] \right\}^{-1},$$

$$\omega_l = \frac{c\omega_{lB}}{2(1-p^2 V_A^2)} + \left[ \frac{1}{4} \left( \frac{c\omega_{lB}}{1-p^2 V_A^2} \right)^2 + \sqrt{2} \frac{\arccos \frac{1}{1+U} - \arccos \frac{1}{1+U_A}}{(1-p^2 V_A^2) \ln \frac{1+U}{1+U_A}} \right]^{1/2}. \quad (56)$$

Для экранированного катода параметр  $\kappa^2$  не зависит от снососовой скорости

$$\kappa^2 = \sqrt{U_A (2 + U_A)} \times \left( \arccos \frac{1}{1+U} - \arccos \frac{1}{1+U_A} \right) / \ln \frac{1+U}{1+U_A}. \quad (57)$$

При  $U = 0$  выражение (57) совпадает с формулой (33) для незакрученного трубчатого пучка.

Ниже при  $c = 0$  приведены значения параметра  $\kappa(U)$ :

$U$	0	1.5	2	4
$\kappa$	1.62	0.71	0.67	0.59

Видно, что по сравнению со случаем нерелятивистских скоростей имеют место более высокие значения этого параметра при тех же относи-

**Таблица 2.** Зависимость функций  $\kappa$ ,  $p/R_0$  от  $\alpha$  для нерелятивистского трубчатого пучка с экранированного катода ( $U_A = 2$ ,  $c = 0$ )

$\alpha$	$\kappa$	$p/R_0$
0.3	0.79	0.70
0.4	0.57	0.93
0.45	0.10	1.05

**Таблица 3.** Функция  $\kappa(U)$  для нерелятивистского ленточного пучка для катода с разной степенью экранировки

$U$	$\kappa$ ( $c = 0$ )	$\kappa$ ( $c = 0.5$ )
0	$\sqrt{2}$	1.28
2	0.91	0.94
4	0.82	0.88

**Таблица 4.** Зависимость функций  $\omega_{lB}$ ,  $\omega_l$ ,  $\kappa$  от снососовой скорости для релятивистского ленточного пучка с неэкранированного катода ( $U_A = 1$ ,  $U = 0$ ,  $c = 0.5$ )

$p$	0.3	0.5	0.7	0.8
$\omega_{lB}$	1.374	1.616	2.482	6.389
$\omega_l$	1.926	2.193	3.064	6.753
$\kappa$	1.402	1.357	1.234	1.057

тельных величинах  $U$ . Так, для  $U = 2$  магнитное поле может быть снижено на 33% против 9% табл. 3.

Влияние снососовой скорости на параметры потока демонстрирует табл. 4 при  $U_A = 1$ ,  $c = 0.5$ ,  $U = 0$ . Ее увеличение приводит к снижению допустимого магнитного поля.

### 3. ФОРМИРУЮЩИЕ ЭЛЕКТРОДЫ

Из приведенных выше результатов и физических соображений ясно, что все исследованные ситуации описываются одинаковыми в качественном отношении картинами распределения потенциала в пучке и в лапласовской области при расчете формирующих электродов, которые реализуют необходимые зависимости  $U(z)$ . По этой причине ниже рассмотрены наиболее простые варианты нерелятивистских потоков, формируемых электростатическими полями.



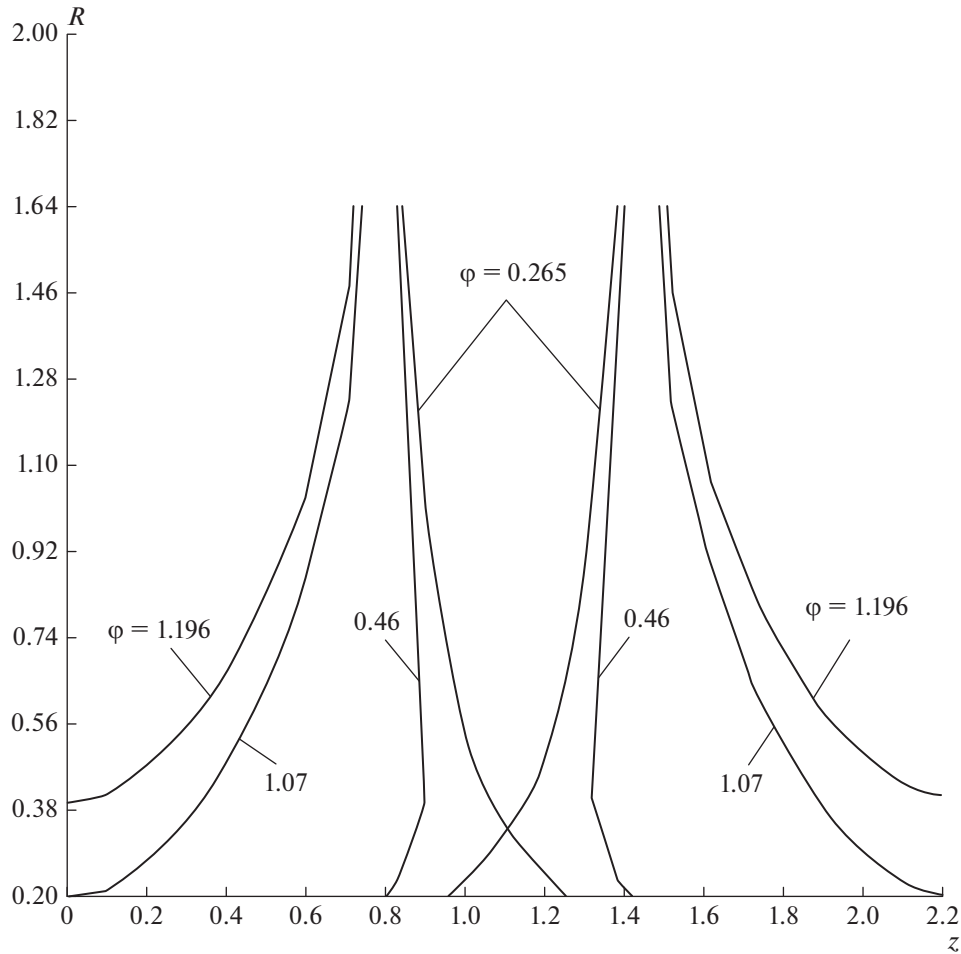


Рис. 6. Лапласовское поле вне сплошного осесимметричного пучка.

Сплошной параксиальный пучок. Параксиальное решение для цилиндрического пучка  $R = R_e$  с потенциалом  $\varphi_i, 0 \leq R \leq R_e$ , определяется формулами

$$\begin{aligned} \varphi_i &= U + \frac{1}{4}(\rho - U''') R^2, \rho - U''' = \Omega^2 = \text{const}, \\ \varphi_{ie} &= U + \frac{1}{4}\Omega^2 R_e^2, \rho = \frac{A}{\sqrt{U}}, \Omega^2 = \kappa^2 A, \quad (58) \\ \varphi &= \varphi_i(R, z) - \frac{1}{4}\rho(R^2 - R_e^2) + \frac{1}{4}\rho R_e^2 \ln \frac{R}{R_e}. \end{aligned}$$

Производная по радиусу в двух сечениях  $z = 0$  и  $z = T/2$ , где потенциал достигает экстремальной величины  $U_m$  (формулы (15), (22)), имеет вид

$$\frac{\partial \varphi}{\partial R} = \frac{1}{2}\kappa^2 AR - \frac{1}{2}\frac{A}{\sqrt{U_m}} \left( R - \frac{R_e^2}{R} \right) \quad (59)$$

и принимает положительное значение при  $R = R_e$ :

$$\left( \frac{\partial \varphi}{\partial R} \right)_e = \frac{1}{2}\kappa^2 AR_e. \quad (60)$$

Возможное наличие сепаратисы при  $R = R_*$  определяется условием  $\partial \varphi / \partial R = 0$ , из которого для  $(R_*/R_e)^2$  получаем

$$\frac{R_*^2}{R_e^2} = \frac{1}{1 - \kappa^2 \sqrt{U_m}} = \pm \frac{1}{1 - \kappa^2}. \quad (61)$$

Двойной знак в (54) соответствует двум указанным выше сечениям. Из формулы (61) следует, что эквипотенциаль-сепаратиса  $\varphi = \varphi(R_*)$  существует в сечении  $z = T/2$  при  $\kappa > 1$  и в сечении  $z = 0$ , если  $\kappa < 1$ . На рис. 6 приведены кривые  $\varphi = \text{const}$  в лапласовской области для случая  $R_e = 0.2, \kappa = 1.2$ . При  $\kappa < 1$  картина поля аналогична приведенной на рис. 6, сепаратисы снова имеются в сечениях  $z = 0, T$  минимального потенциала на границе пучка.

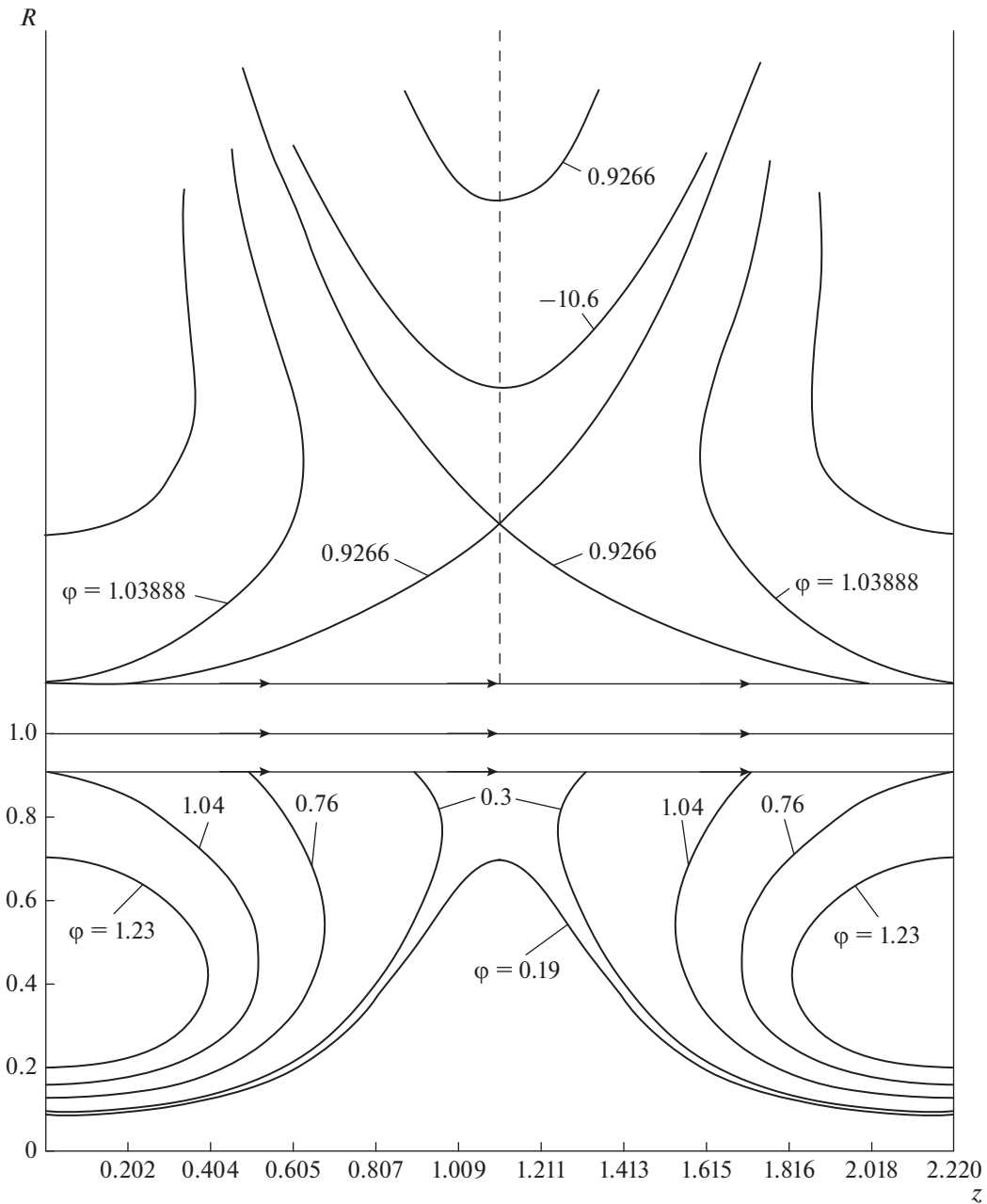


Рис. 7. Лапласовское поле для незакрученного трубчатого пучка  $0.9 \leq R \leq 1.1$ ,  $\kappa = 1.2$ : а – качественная картина при  $R > 1.1$ ; б – эквипотенциалы в полости  $R < 0.9$ .

*Трубчатый пучок.* Решение вне трубчатого пучка описывается выражением

$$\begin{aligned} \varphi_i &= U + \frac{1}{2} \kappa^2 A (R - R_0)^2, \\ \varphi &= \varphi_i - \frac{1}{4\sqrt{U}} \left( R^2 - R_e^2 - 2R_e^2 \ln \frac{R}{R_e} \right). \end{aligned} \quad (62)$$

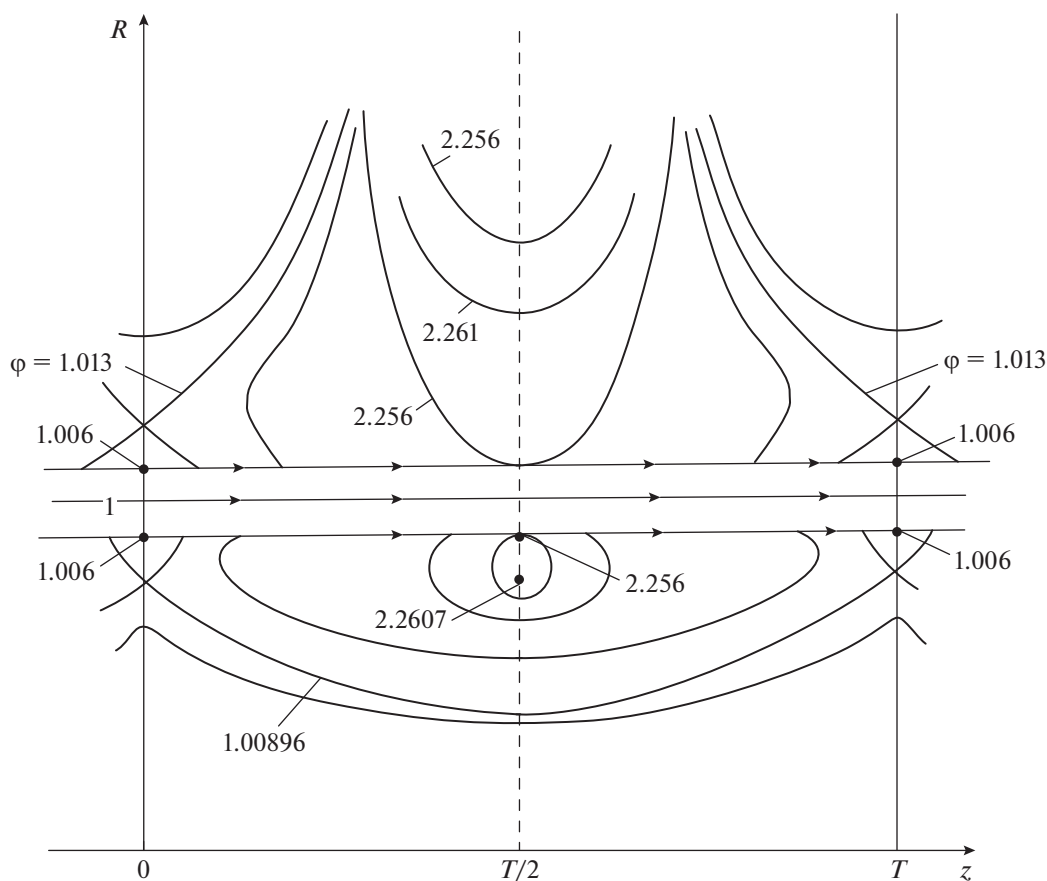
От границы, внешней или внутренней, потенциал растёт:

$$\left( \frac{\partial \varphi}{\partial R} \right)_e = \kappa^2 A (R_e - R_0). \quad (63)$$

Существование экстремумов (возможных сепаратрис) описывают условия

$$\begin{aligned} \kappa^2 (R_* - R_0) - \frac{1}{2\sqrt{U_m}} \left( R_* - \frac{R_e^2}{R_*} \right) &= 0, \\ (2\sqrt{U_m} \kappa^2 - 1) \bar{R}_*^2 - 2\sqrt{U_m} \kappa^2 \bar{R}_* + \bar{R}_e^2 &= 0, \quad (64) \\ \bar{R} &\equiv R/R_0. \end{aligned}$$

Рассмотрим два примера расчета формирующих электродов для пучка  $0.9 \leq \bar{R} \leq 1.1$ :  $\kappa = 1.2$ ,



**Рис. 8.** Лапласовское поле для закрученного  $p = 1.5$  трубчатого пучка  $0.9 \leq R \leq 1.1$ ,  $\kappa = 0.5$ , качественная картина эквипотенциалей.

$U_m = 0.151$ , незакрученный пучок;  $\kappa = 0.5$ ,  $p = 1.5$ ,  $U_m = 2.25$ . Из-за разномасштабности картин приведем качественное изображение эквипотенциалей во втором случае и при  $R > 1.1$  в первом.

Для превышения магнитного поля над бриллюэновским в 1.2 раза в сечении  $z = 0$ ,  $U = 1$ ,  $\varphi_e = 1.03888$  при  $R > 1.1$  отсутствуют вещественные корни уравнения (64): потенциал от границы пучка в силу (63) монотонно возрастает. Полости соответствует корень  $\bar{R}_* = 0.371$ , где потенциал достигает максимума  $\varphi = 1.508$ , а затем монотонно убывает. При  $z = T/2$  во внешней области существуют два корня:  $R_* = 1.2465$ ,  $8.087$ . Потенциал увеличивается от значения на границе  $\varphi_e = 0.18988$  до  $0.9266$  — эквипотенциаль-сепаратиса, проходит через минимум  $\varphi = -11.11$  и снова возрастает.

Картина кривых  $\varphi = \text{const}$  при  $R > 1.1$  в качественном отношении подобна случаю сплошного пучка, но отличается от него немонотонным изменением потенциала после первой точки с нулевой радиальной производной.

При  $z = T/2$  в полости потенциал при  $R_* = 0.79$  достигает максимального значения  $\varphi = 0.235$ , причем через эту точку проходит эквипотенциаль-сепаратиса, а затем убывает.

В результате рассматриваемый пучок во внешней области может быть реализован при помощи электродов с потенциалом, слабо отличающимся от единицы ( $\varphi > 1$  или  $\varphi < 1$  для электродов, симметричных относительно сечений  $z = 0$ ,  $z = T/2$  соответственно). В полости форму пучка может поддерживать высоковольтный электрод с потенциалом, также слабо превышающим единицу, и низковольтный гофр с  $\varphi < 0.235$ .

Электронно-оптическая система для закрученного потока с магнитным полем, в два раза меньшим бриллюэновского, изображена на рис. 8. Сепаратисы, как и в предыдущем примере, находятся в сечении с минимальным потенциалом  $U = 1$ , но точки ветвления расположены очень близко к пучку при значениях  $\varphi$ , также слабо отличающихся от потенциала  $\varphi_e = 1.00675$  на границе: во внешней области  $R_* = 1.14$ ,  $\varphi = 1.00890$ , в

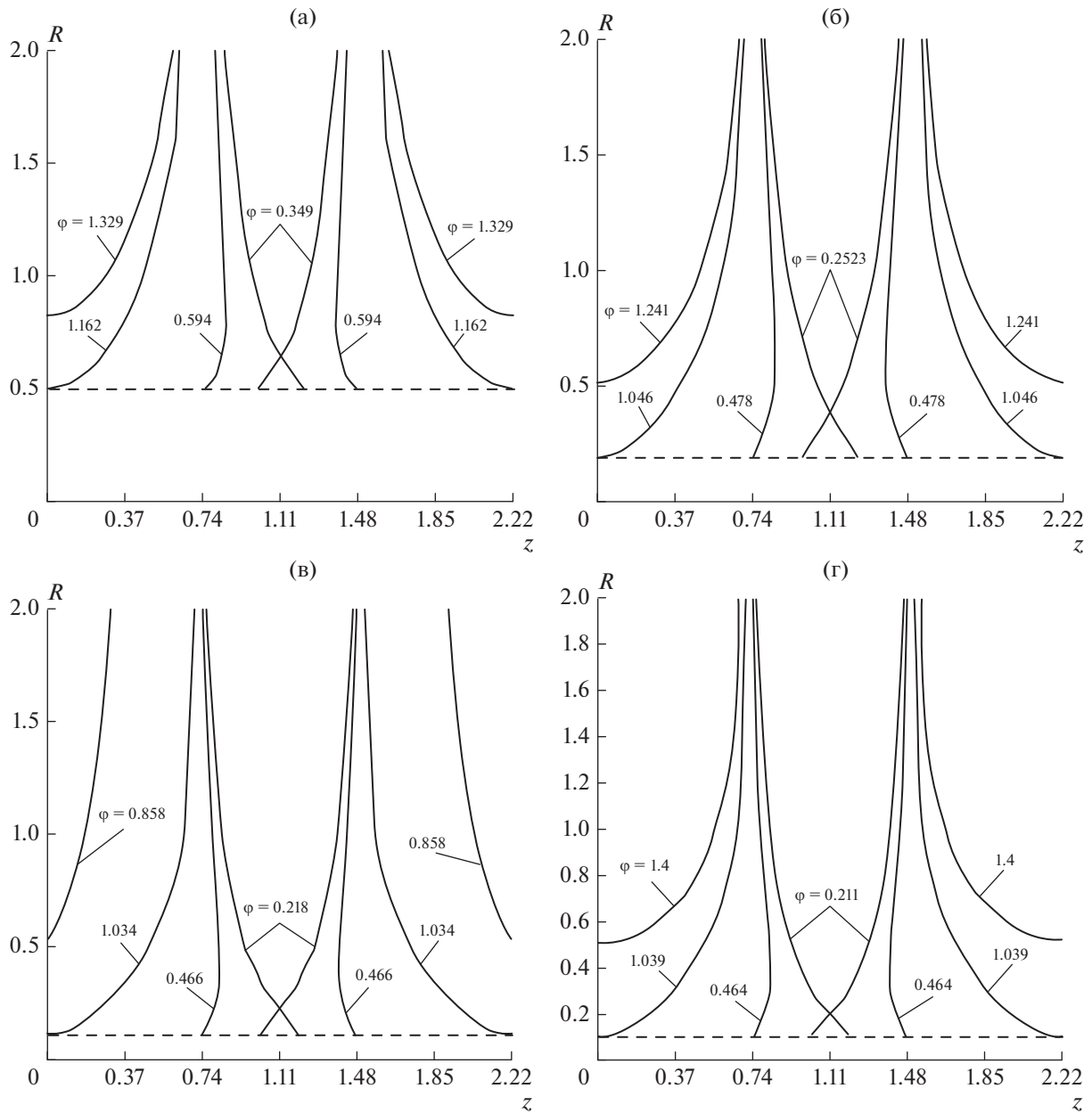


Рис. 9. Кривые  $\varphi = \text{const}$  для эллиптического пучка с  $a/b = 5$ ,  $\kappa = 1.2$  в сечениях  $\psi = \text{const}$ : а –  $\psi = 0$ , б –  $\psi = \pi/6$ , в –  $\psi = \pi/3$ , г –  $\psi = \pi/2$ .

полости  $R_* = 0.86748$ ,  $\varphi = 1.00896$ . После прохождения сепаратис потенциал монотонно убывает.

При  $z = T/2$ ,  $U = 2.25$  точки максимума потенциала соответствуют  $R_* = 1.16$  и  $R_* = 0.84307$  со значениями  $\varphi = 2.26089$  и  $\varphi = 2.26066$ . Низковольтные электроды во внешней области и гофр в полости имеют потенциал, незначительно превышающий единицу, потенциал высоковольтных электродов также слабо отличается от максимального значения на границе пучка.

*Эллиптический пучок.* Потенциал  $\varphi_i$  в эллиптическом пучке и связь декартовых координат  $x, y$  с криволинейными координатами  $u, v$ , в которых граница потока описывается уравнением  $v = 0$ , определены формулами

$$\begin{aligned} \varphi_i &= U - \frac{1}{2}\Omega^2 \left( \frac{b}{a+b}x^2 + \frac{a}{a+b}y^2 \right), \\ x &= c [\exp(-v) + c_1 \exp(v)] \cos u, \\ y &= c [\exp(-v) - c_1 \exp(v)] \sin u, \quad c = \frac{a+b}{2}, \end{aligned} \tag{65}$$

$$c_1 = \frac{a-b}{a+b}; \quad \varphi_i = U + \frac{1}{16} \Omega^2 \left\{ [(a+b)^2 \exp(-2v) + (a-b)^2 \exp(2v) - 2(a-b)^2] + (a^2 - b^2) [2 - (\exp(-2v) + c_1^2 \exp(2v))] \cos 2u \right\},$$

$$\varphi_{ie} = U + \frac{1}{4} \Omega^2 ab (1 + c_1 \cos 2u).$$

В области вне пучка решение уравнения Лапласа описывается выражением

$$\varphi = \varphi_i - \frac{1}{4} \rho \left\{ \frac{1}{4} (a-b)^2 [\exp(2v) - 1] + \frac{1}{4} (a+b)^2 [\exp(-2v) - 1] + 2abv + \frac{1}{2} (a^2 - b^2) (1 - \operatorname{ch} 2v) \cos 2u \right\}. \quad (66)$$

Для изучения эволюции эквипотенциальных поверхностей при обходе эллиптического контура удобно использовать распределение потенциала на лучах  $\psi = \text{const}$  полярной системы координат. При фиксированных угле  $\psi = \psi_*$  и координате  $v$  соответствующее значение  $u$  определено формулой

$$\operatorname{tg} u = \frac{\exp(-v) + c_1 \exp(v)}{\exp(-v) - c_1 \exp(v)} \operatorname{tg} \psi_*. \quad (67)$$

Полученные таким образом величины  $u, v$  позволяют вычислить потенциал  $\varphi$  в точке с координатами  $(u, v), (x, y)$  при заданном  $z$ .

На рис. 9 приведены кривые  $\varphi = \text{const}$  в сечениях  $\psi = \text{const}$  для эллиптического пучка с отношением полуосей  $a/b = 5$  при  $\kappa = 1.2$ .

## ЗАКЛЮЧЕНИЕ

Проведенное рассмотрение дало возможность сформулировать условия реализации сплошных и полых осесимметричных релятивистских электронных пучков, а также пучков с эллиптическим сечением при сохранении их начальной геометрии в момент инжекции в магнитное поле  $\Omega_z$ , отличное от бриллюэновского  $\Omega_{zB}$ . При  $\Omega_z > \Omega_{zB}$  для незакрученных пучков предельное отношение этих параметров оценивается величиной  $\sqrt{2}$ , а для закрученных потоков при оптимальном соотношении продольной и азимутальной компонент скорости — величиной 2. Отсутствие пульсаций для сплошного пучка может быть обеспечено системой отстоящих от границы высоковольтных электродов с потенциалом, незначительно превышающим анодное значение  $\varphi_A$ , и низковольтных поверхностей с потенциалом, меньшим  $0.3\varphi_A$ . Для незакрученного трубчатого пучка во внешней области электронно-оптическая система при  $\Omega_l > \Omega_{lB}$  образована электродами, потенциалы которых слабо отличаются от  $\varphi_A$  ( $\varphi > \varphi_A$  и  $\varphi < \varphi_A$ ), в полости — поверхностью с  $\varphi \geq \varphi_A$  и низковольт-

ным гофром с  $\varphi < \varphi_A/4$ . Закрученный пучок в магнитном поле, в два раза меньшем бриллюэновского, сохраняет форму за счет низковольтных электродов во внешней области и гофра в полости с потенциалами  $\varphi \geq \varphi_A$  и высоковольтных поверхностей, потенциалы которых незначительно превышают максимальное значение  $U_m = 2.25U_A$  на оси пучка.

Увеличение фронта нарастания магнитного поля приводит к росту амплитуды пульсаций потенциала на оси пучка и к более быстрому наступлению полного торможения, определяющего предельно допустимую величину магнитного поля.

Периодическое изменение потенциала, направленного против осцилляций границы в заданном магнитном поле, опережает последние при  $\Omega_z > \Omega_{zB}$  и отстает от них, если  $\Omega_z < \Omega_{zB}$ .

Помимо вопросов формирования и транспортировки интенсивных пучков существует важная проблема устойчивости полученных решений. Изучению различных видов неустойчивости в осесимметричных системах (полые пучки, пучки с центробежной фокусировкой, неустойчивость типа Рэлея—Тэйлора, слиппинг неустойчивость) посвящены работы [6–9]. Рассмотренные выше электронные потоки не соответствуют постановкам упомянутых исследований: в том случае, когда нормальное магнитное поле на катоде присутствует, оно является однородным и не удовлетворяет для осесимметричных случаев условию убывания магнитного потока к периферии катода, приводящего к локальной неустойчивости пучка [8]. Для эллиптических пучков кроме того нет возможности выделить локальную осесимметричную трубку тока, на уравнениях которой основаны выводы работы [8]. Более того, в строгом смысле, как показало исследование течения в окрестности произвольного криволинейного катода [10], не сохраняется и начальная конфигурация самого эллиптического пучка. Таким образом, вопрос об устойчивости полученных выше решений требует специального рассмотрения, которое выходило за рамки поставленной задачи.

## СПИСОК ЛИТЕРАТУРЫ

1. Сыровой В.А. Введение в теорию интенсивных пучков заряженных частиц. М.: Энергоатомиздат, 2004.
2. Сыровой В.А. // РЭ. 2008. Т. 53. № 8. С. 999.
3. Сыровой В.А. // РЭ. 2011. Т. 56. № 1. С. 111.
4. Акимов П.И., Гаврилин А.А., Никитин А.П. и др. // РЭ. 2018. Т. 63. № 11. С. 1165.
5. Сыровой В.А. // РЭ. 2016. Т. 61. № 7. С. 692.
6. Гладун А.Д., Дунаев А.С., Лейман В.Г. // Электронная техника. Электроника СВЧ. 1968. № 10. С. 48.
7. Лейман В.Г. // Электронная техника. Электроника СВЧ. 1969. № 5. С. 16.
8. Лейман В.Г. // Физика плазмы. 1987. Т. 13. № 10. С. 1216.
9. Лейман В.Г., Никулин М.Г., Розанов М.Е. // ЖТФ. 1989. Т. 59. № 4. С. 111.
10. Сыровой В.А. // РЭ. 2017. Т. 62. № 5. С. 493.